

05.1

© 1990

ТЕПЛОПРОВОДНОСТЬ СПЛАВОВ НА ОСНОВЕ ВИСМУТА
В УСЛОВИЯХ КОМБИНИРОВАННОГО
ФОНОН-ПРИМЕСНОГО РАССЕЯНИЯ ФОНОНОВ

Н.А. Р е д ь к о

Проведено исследование фононной теплопроводности сплавов $Bi_{1-x}Sbx$ ($0 < x \leq 0.16$) и $Bi_{1-x}Te_x$ ($0 < x \leq 0.003$) в температурной области $1.8 \leq T \leq 300$ К. Измерения проводились на моно-кристаллических образцах $C_{111}\bar{1}\bar{1}$. Выделение фононной составляющей теплопроводности χ_{22} осуществлялось подавлением электронной доли сильным магнитным полем. Характерные температурные зависимости $\chi_\varphi(T)$ представлены на рис. 1. Природный висмут практически моноизотопен, поэтому в чистом и совершенном кристалле Bi с поперечными размерами 8.8×8.6 мм² теплопроводность в максимуме ($T_M \approx 3.6$ К) достигает рекордного значения 86 Вт/см·К [1] и ограничивается поперечными размерами образца, что и приводит к зависимости $\chi_\varphi(T) \sim T^3$ при $T < T_M$. Чистый Bi – компенсированный полуметалл с концентрацией свободных носителей тока $n = p \approx 3 \cdot 10^{17}$ см⁻³, но рассеяние фононов в целом на электронах и дырках незначительно по сравнению с рассеянием фононов на границах, из-за малости числа фононов, взаимодействующих с носителями ($q \leq 2k_F$). В Bi при $T > T_M$ преобладают ангармонические фонон-фононные (ФФ) процессы рассеяния, которые приводят к характерным зависимостям Пайерлса: $\chi_\varphi(T) \sim e\exp(\theta_D/T)$ при $T < \theta_D$ и $\chi_\varphi(T) \sim T^{-1}$ при $T > \theta_D$, где $\theta_D \approx 120$ К – температура Дебая Bi .

1. В сплавах Bi – Te и Bi – Sb атомы Bi в решетке замещаются на Te и Sb . Сурьма и Bi – элементы У группы. Различие их атомных масс ($m_{Bi} \approx 209$, $m_{Sb} \approx 122$) и ионных радиусов ($r_{Bi} = 0.62$ Å, $r_{Sb} = 0.74$ Å) вызывает локальную деформацию решетки сплава. Теллур – элемент У1 группы с $m_{Te} \approx 128$, $r_{Te} = 0.56$ Å. Локальные искажения решетки кристалла в сплавах Bi – Sb и Bi – Te можно рассматривать как точечные релеевские дефекты, которые рассеивают фононы с временем релаксации $\tau_d \sim q^{-4}$. Введение в кристалл Bi донорной примеси Te приводит к росту: точечных дефектов, концентрации свободных электронов n , а также к увеличению доли фонон-электронного (ФЭ) рассеяния [2]. На рис. 1 (кривые 2, 4, 7) представлена $\chi_\varphi(T)$ для сплавов Bi – Te с концентрацией $Te: \sim 0.004, \sim 0.1, \sim 0.3$ ат. % и соответственно с концентрацией электронов $7.2 \cdot 10^{17}, 1.8 \cdot 10^{19}$ и $4.8 \cdot 10^{19}$ см⁻³. Температура максимума χ_φ при этом растет как 4.8, 5.8 и 8 К. В сплавах $Bi_{1-x}Te_x$ ФЭ взаимодействие при $T \leq T_M$ является

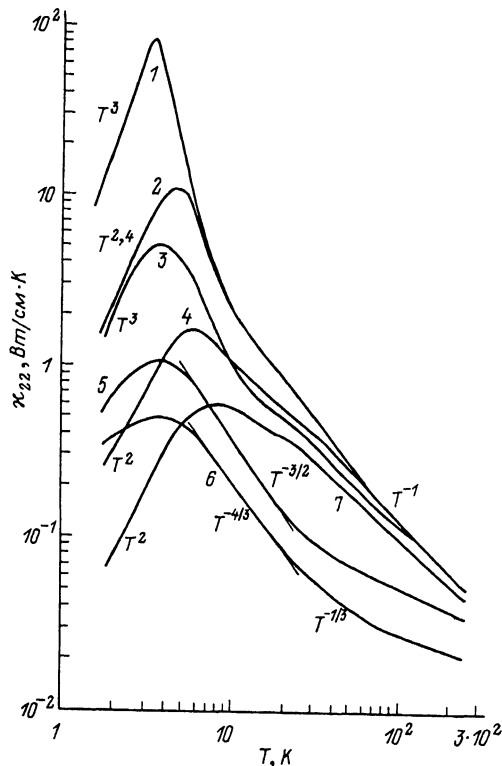


Рис. 1. Температурная зависимость фоновой теплопроводности $\chi_{22}(T)$ монокристаллических образцов ($\nabla T \parallel C_1$, где C_1 – биссекторная ось) сплавов на основе висмута: 1 – чистый Bi [1], 2, 4, 7 – сплавы $Bi-Te$ с 0.004; 0.1 и 0.3 ат.% Te соответственно; 3, 5, 6 – сплавы $Bi-Sb$ с 0.1; 3 и 13 ат. % Sb соответственно.

преимущественным [2], начиная с $n \geq 0.001$. Об этом можно судить по температурной зависимости $\chi_\varphi(T) \sim T^2$ и наличию соотношения $\chi_\varphi/\chi_2 \propto (n_2/n_1)^{4/3}$, поскольку $\chi_\varphi \sim L_y \cdot V \cdot L \sim T^2/D^2 \sim T^2/E_F^2 \sim T^2/n^{4/3}$, где D – деформационный потенциал. С ростом n растет k_F и сдвигает границу области ФЭ рассеяния $2k_F$ в сторону тепловых фононов. В сплавах $Bi-Te$ ФЭ взаимодействием объясняется уменьшение χ_φ в максимуме и смещение последнего в область высоких температур с ростом n . В сплаве $Bi-Te$ с концентрацией электронов $4.8 \cdot 10^{19} \text{ см}^{-3}$ при $T < 10 \text{ K}$ $\chi_3 \ll \chi_\varphi$, как в чистом Bi , в то время как в чистой Sb с концентрацией носителей $n = p \approx 5 \cdot 10^{19} \text{ см}^{-3}$ $\chi_3 \gg \chi_\varphi$ [3]. Этот экспериментальный факт объясняется малостью длины свободного пробега электронов в сплаве, по сравнению с этой длиной в Sb , о чем можно судить сравнивая их остаточные сопротивления $\rho(Bi_{0.997}Te_{0.003})/\rho(Sb) \approx 10^3$.

Совпадение $T_M \approx 8$ К для $\chi_\varphi(T)$ в сплаве и чистой Sb подтверждает преимущественную роль ФЭ взаимодействия в них при $T < T_M$.

2. В сплавах $Bi_{1-x}Sb_x(Bi_{1-x}Te_x)$ при $T > \theta_D$ установлено отклонение температурной зависимости от стандартной $\chi_\varphi(T) \sim T^{-1}$, начиная с концентрации Sb (Te) $x \geq 0.003$. В сплаве $Bi_{0.87}Sb_{0.13}$ величина $\chi_\varphi(T)$ уменьшилась по отношению к величине $\chi_\varphi(T)$ чистого Bi при $\theta_D \approx 120$ К в ~4 раза, при $T=300$ К более чем в 2 раза, а в районе максимума $\chi_\varphi(T)$ при $T=4$ К более чем на два порядка. Температура максимума $\chi_\varphi(T)$ сплавов не смещается заметно при увеличении концентрации Sb вплоть до 16 ат.% и располагается вблизи $T=4$ К. На рис. 2 представлена зависимость χ_φ сплавов $Bi_{1-x}Sb_x$ ($0.03 \leq x \leq 0.16$) от концентрации локальных дефектов С, определенной как среднеквадратичная относительная флуктуация массы атомов Bi и Sb :

$$\sigma = \frac{\overline{m^2}}{m^2} = \frac{(m_{Bi} - m_{Sb})^2 \cdot x \cdot (1-x)}{[m_{Sb} \cdot x + m_{Bi} \cdot (1-x)]^2}, \text{ где } x - \text{ относительная концен-}$$

трация сурьмы. Здесь выявлены две характерные области $\chi_\varphi(C)$, разделенные перегибом вблизи 8 ат.% Sb . В первой с $x < 0.08$ наблюдается зависимость $\chi_\varphi(C) \sim C^{1/2}$ и $\chi_\varphi(C) \sim C^{-2/3}$ для второй при $x > 0.08$. На температурных зависимостях $\chi_\varphi(T)$ для сплавов $Bi-Sb$ в этих двух концентрационных областях наблюдаются различные закономерности: для первой области при $x < 0.08$ примерно выполняется соотношение $\chi_\varphi(T) \sim T^{-3/2}$ при $T_M < T < \theta_D$ и $\chi_\varphi(T) \sim T^{-1/2}$ при $T > \theta_D$ (рис. 1, кривая 5), а для второй области с $x > 0.08$ — $\chi_\varphi(T) \sim T^{-4/3}$ при $T_M < T < \theta_D$ и $\chi_\varphi(T) \sim T^{-1/3}$ при $T > \theta_D$ (рис. 1, кривая 6).

3. Изложенные результаты для $\chi_\varphi(T)$ сплавов $Bi-Sb$ и $Bi-Te$ при $T > T_M$ можно интерпретировать с помощью комбинированного фонон-примесного механизма рассеяния фононов, который теоретически проанализирован в [4]. Наличие дефектов в сплавах приводит к сильному релеевскому рассеянию фононов с $\tau_d^{-1} \sim q^4$. В результате этого в первую очередь выбывают из участия в переносе тепла коротковолновые фононы. Длинноволновые фононы не рассеиваются на дефектах и продолжают принимать участие в переносе тепла наряду с фононами со средними длинами волн, степень рассеяния которых на дефектах еще сравнительно невелика. Фононы, участвующие в переносе тепла, в свою очередь испытывают ангармонические ФФ взаимодействия. Согласно Херрингу, в кристаллах ромбоздрической системы, к которой относится кристаллическая решетка Bi и его сплавов, время релаксации нормальных ФФ процессов имеет зависимость: $\tau_N^{-1} = A \cdot q^3 \cdot T^2$ [5, 6]. Конкурирующим механизмом ФФ рассеяния для длинноволновых продольных фононов является механизм Саймонса [7], учитывающий квантомеханическое уширение энергетических уровней тепловых фононов, что приводит к следующей зависимости: $\tau_N^{-1} = B \cdot q \cdot T^4$. Из анализа размерного эффекта $\chi_\varphi(T)$ сплава $Bi_{0.88}Sb_{0.12}$ [8] была получена зависимость времени релаксации нормальных ФФ процессов $\tau_N^{-1} = B \cdot q \cdot T^4$. В сплавах результирующая частота нормальных ФФ процессов должна

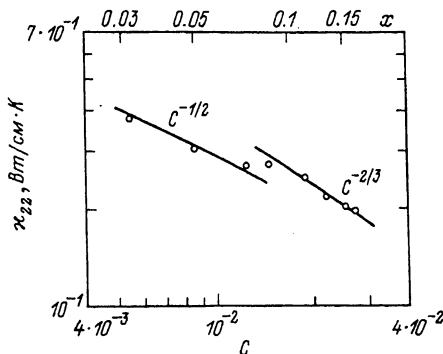


Рис. 2. Зависимость фононной теплопроводности χ_{22} (С) для сплавов $Bi_{1-x}Sb_x$ ($0.03 \leq x \leq 0.16$) от концентрации точечных дефектов: $C = \frac{\Delta m^2}{m^2} = \frac{(m_{Bi} - m_{Sb})^2 \cdot x \cdot (1-x)}{[m_{Sb} \cdot x + m_{Bi} \cdot (1-x)]^2}$.

содержать оба этих слагаемых. Согласно теории [4], когда τ_N имеет такую же зависимость от q , как в случае Саймонса, теоретические зависимости температурной и концентрационной для χ_φ полностью соответствуют нашим экспериментальным для сплава $Bi-Sb$ для области больших концентраций Sb $x > 0.08$. Для области меньших концентраций Sb $x < 0.08$ в сплаве $Bi-Sb$ экспериментальные зависимости χ_φ соответствуют рассмотренному в [4] случаю, когда $\tau_N^{-1} \sim q^2$. Поскольку в сплавах $Bi-Sb$ время ФФ релаксации содержит смесь двух механизмов – Херринга и Саймонса, поэтому при невысокой концентрации примесей это смешанное время релаксации может иметь зависимость близкую к $\tau_N^{-1} \sim q^2$.

Автор благодарен Н.А. Родионову и В.И. Польшину за выращенные сплавы $Bi-Sb$ и $Bi-Te$, а также В.Л. Гуревичу, В.В. Косареву, В.Д. Кагану, Р.Н. Гуржи за обсуждение экспериментальных результатов.

С п и с о к л и т е р а т у р ы

- [1] Issi J-P., Hermans J. // Proc. 15th Int. Conf. Thermal Conductivity. Ottawa. 1977. P. 63-67.
- [2] Редько Н.А., Бойко М.П., Родионов Н.А., Польшин В.И. // ФТТ. 1987. Т. 29. № 9. С. 2830-2833.
- [3] Редько Н.А., Бреслер М.С., Шалыт С.С. // ФТТ. 1969. Т. 11. № 10. С. 3005-3007.
- [4] Гуревич В.Л. Кинетика фононных систем. М.: Наука, 1980. С. 400.
- [5] Herring C. // Phys. Rev. 1954. V. 95. N 4. P. 954-965.

- [6] Uher C., Hermans J., Issi J-P.,
de Goer A.M., Locatelli M. // J.
Phys. C.: Sol. State Phys. 1985. V. 18. N 15.
P. 3001-3010.
- [7] Simons S. // Proc. Phys. Soc. 1964. V. 83.
N 535. P. 749-754.
- [8] Бодюл П.П., Бойко М.П., Редько Н.А. // ФТТ.
1986. Т. 28. № 10. С. 3182-3184.

Физико-технический
институт им. А.Ф. Иоффе
АН СССР, Ленинград

Поступило в Редакцию
28 сентября 1990 г.

Письма в ЖТФ, том 16, вып. 22

26 ноября 1990 г.

05.2; 05.3

© 1990

КРИТИЧЕСКОЕ ПОВЕДЕНИЕ И СУБСТРУКТУРА УЛЬТРАДИСПЕРСНЫХ КОМПАКТОВ НИКЕЛЯ

В.И. Новиков, Ю.Н. Рудой,
Л.И. Трусов, О.М. Гвоздецкий

В ультрадисперсных средах (УДС) благодаря соизмеримому соотношению вкладов поверхностной и объемной энергии наблюдается целый спектр размерных эффектов. Такие размерные эффекты были обнаружены экспериментально для поведения ансамбля невзаимодействующих магнитных частиц никеля вблизи критической точки – температуры Кюри (T_c) [1] и проявлялись в монотонном уменьшении T_c при увеличении дисперсности ансамбля. В компактных ансамблях УДС частиц никеля, изготовленных компактированием под высоким давлением, было обнаружено, что, чем меньше зерно, тем больше снижается T_c и намагниченность насыщения по сравнению с массивным никелем [2]. При интерпретации результатов в компактах необходимо учитывать не только магнитные, но и структурные размерные эффекты, которые в сильной степени зависят от предыстории образца (способ компактирования, термообработка). В этой связи представляет интерес исследование поведения нанокристаллов вблизи T_c в зависимости от давления прессования. Причем особо важным является разграничение эффектов, вносимых различными способами компактирования. Это обусловлено тем, что компактирование в жидкости (гидростатическое прессование) значительно отличается от компактирования в пресс-форме (одноосное прессование). При последнем способе за счет большой сдвиговой компоненты деформации в образце наблюдаются процессы рекристалли-